

ТРАНСМУТАЦИОННОЕ ЛЕГИРОВАНИЕ АРСЕНИДА ГАЛЛИЯ ПРИ ОБЛУЧЕНИИ ПРОТОНАМИ И АЛЬФА-ЧАСТИЦАМИ

Афонин О. Ф., Викторов Б. В., Забродин Б. В.,
Козловский В. В., Марущак Н. В., Шустров Б. А.

Проведен анализ формирования примесного состава арсенида галлия при его облучении протонами и альфа-частицами с энергиями 15–20 МэВ. По результатам анализа сделан вывод об эффективности введения донорных и акцепторных примесей при облучении. Показано, что наиболее эффективное ядерное легирование арсенида галлия осуществляется донорными примесями при использовании облучения альфа-частицами. Экспериментальная проверка процессов ядерного легирования на заряженных частицах проведена на малогабаритном циклотроне МГЦ-20. Получено хорошее согласие между концентрацией носителей заряда в ядерно легированных образцах и концентрацией введенных примесей.

Принципиальная возможность легирования полупроводниковых материалов примесями, возникающими в результате ядерных реакций на тепловых нейтронах, гамма-квантах, заряженных частицах, известна уже несколько десятилетий [1], однако до настоящего времени экспериментальные исследования проводились в основном только для нейтронного и фотоядерного легирования [2–4]. Известны лишь две работы, в которых сообщается о попытках провести легирование элементарного полупроводника — кремния путем облучения протонами и альфа-частицами [5, 6]. В настоящей работе выполнен анализ и проведена экспериментальная проверка возможности легирования сложного полупроводникового материала — арсенида галлия под действием протонов и альфа-частиц.

Как известно, под действием протонов и альфа-частиц достаточно большой энергии могут протекать ядерные реакции типа (p, γ) , (p, n) , (p, pn) , (α, γ) , (α, n) , (α, p) , $(\alpha, 2p)$, $(\alpha, 2n)$ и др. Эти реакции во всех случаях, за исключением реакций радиационного захвата (p, γ) , (α, γ) , являются эндотермическими, причем величина энергетического барьера зависит от типа ядерной реакции, в частности от числа вылетающих вторичных частиц.

Химические элементы, образующиеся в материалах под действием протонов и альфа-частиц, в периодической таблице располагаются, как правило, справа от исходных элементов. Для выяснения элементного состава вводимых в GaAs примесей проведем анализ продуктов всех возможных ядерных реакций. В табл. 1 приведены для изотопов галлия и мышьяка значения энергетических порогов для различных каналов реакций с протонами и альфа-частицами и продукты этих реакций. Если ядро — продукт реакции — радиоактивно, то для него указаны период полураспада и конечное стабильное ядро.

Из табл. 1 видно, что основными элементами, вводимыми при облучении GaAs как протонами, так и альфа-частицами, являются германий и селен — примеси донорного типа для арсенида галлия [7, 8]. Однако ядерные реакции на протонах по конечным продуктам имеют некоторые отличия от реакций на альфа-частицах. Так, реакции типа (p, n) не приводят к образованию примесных атомов, поскольку продукты этих реакций, как правило, претерпевают β^+ -распад, превращаясь в ядра матрицы. Распадающиеся по этому же типу продукты ядерных реакций типа (p, pn) приводят к образованию химических элементов, стоящих слева от исходных элементов. Реакция (p, pn) , например,

Таблица 1

Характеристики основных типов ядерных реакций
на арсениде галлия под действием протонов и альфа-частиц

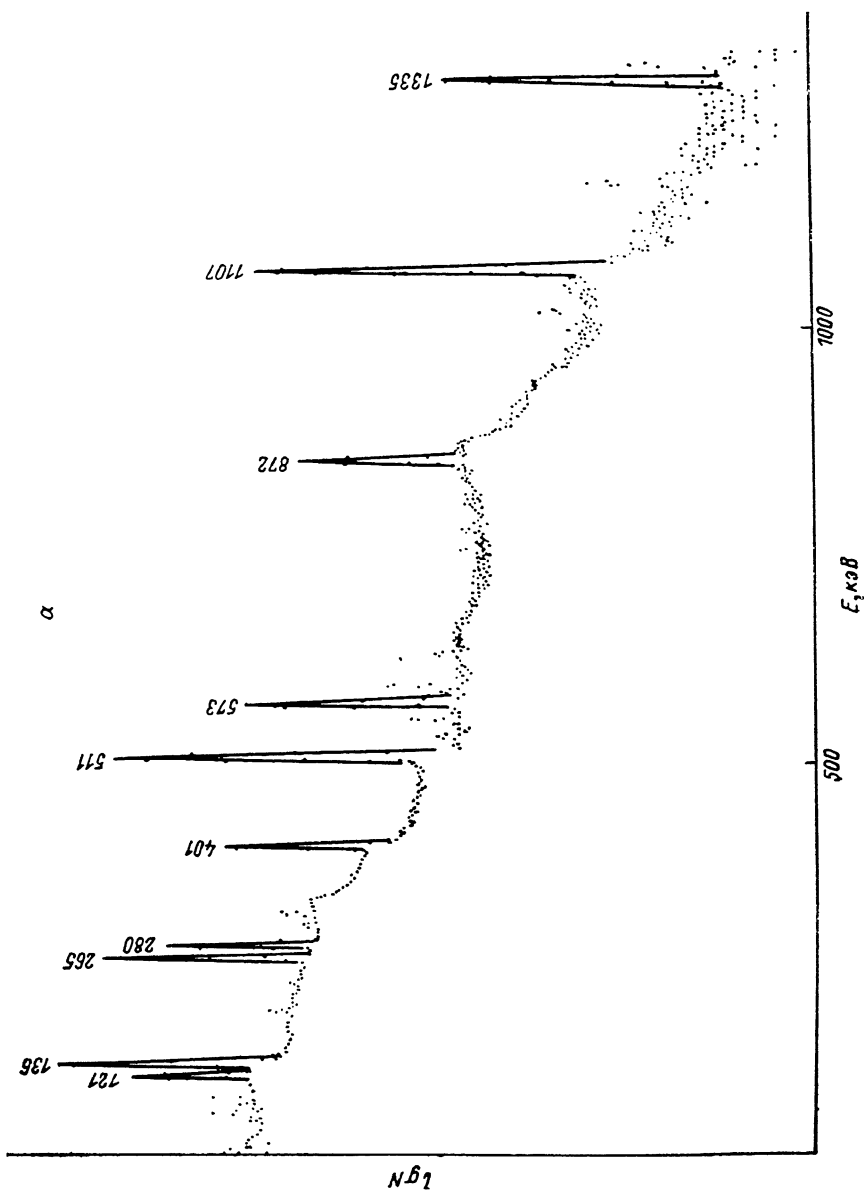
Элемент	Содержание, %	Реакция	Порог, МэВ	Продукт реакции	$T_{1/2}$	Конечный продукт
⁶⁹ Ga	60.7	p, γ	-8.6	⁷⁰ Ge	Стаб	⁷⁰ Ge *
		p, n	2.2	⁶⁹ Ge	36 ч	⁶⁹ Ge
		p, pn	10.4	⁶⁸ Ge	68 мин	⁶⁸ Zn
		α, p	1.7	⁷² Ge	Стаб	⁷² Ge
		α, n	7.1	⁷² As	26 ч	⁷² Ge
		$\alpha, 2p$	11.9	⁷¹ Ga	Стаб	⁷¹ Ga
		$\alpha, 2n$	16.0	⁷¹ As	62 ч \rightarrow ⁷¹ Ge \rightarrow 11 дн	⁷¹ Ga
		α, pn	13.1	⁷¹ Ge	11.4 дн	⁷¹ Ga
		$\alpha, p2n$	20.9	⁷⁰ Ge	Стаб	⁷⁰ Ge
		$\alpha, n2p$	21.8	⁷⁰ Ga	21 мин	⁷⁰ Ge
		$\alpha, 3n$	28.3	⁷⁰ As	52 мин	⁷⁰ Ge
		p, γ	-9.8	⁷² Ge	Стаб	⁷² Ge
⁷¹ Ga	39.3	p, n	1.0	⁷¹ Ge	11.4 дн	⁷¹ Ga
		p, pn	9.4	⁷⁰ Ga	21 мин	⁷⁰ Ge
		α, p	3.9	⁷³ Ge	Стаб	⁷³ Ge
		α, n	5.2	⁷⁴ As	17.9 дн	{ ⁷⁴ Ge (68 %) ⁷⁴ Se (32 %)
		$\alpha, 2p$	13.2	⁷³ Ga	4.9 ч	⁷³ Ge
		$\alpha, 2n$	13.6	⁷³ As	80.3 дн	⁷³ Ge
		α, pn	12.5	⁷³ Ge	Стаб	⁷³ Ge
		$\alpha, p2n$	19.7	⁷² Ge	Стаб	⁷² Ge
		$\alpha, n2p$	22.0	⁷² Ge	14.1 ч	⁷² Ge
		$\alpha, 3n$	25.4	⁷² As	26 ч	⁷² Ge
		p, γ	-9.6	⁷⁶ Se	Стаб	⁷⁶ Se *
		p, n	1.6	⁷⁸ Se	120 дн	⁷⁸ As
⁷⁵ As	100	p, pn	10.3	⁷⁴ As	17.9 дн	{ ⁷⁴ Se (32 %) ⁷⁴ Ge (68 %)
		α, p	0.92	⁷⁸ Se	Стаб	⁷⁸ Se
		α, n	5.5	⁷⁸ Br	6.5 мин	⁷⁸ Se
		$\alpha, 2p$	11.8	⁷⁷ As	38.7 ч	⁷⁷ Se
		$\alpha, 2n$	14.2	⁷⁷ Br	57 ч	⁷⁷ Se
		α, pn	12.1	⁷⁷ Se	Стаб	⁷⁷ Se
		$\alpha, p2n$	19.8	⁷⁶ Se	Стаб	⁷⁶ Se
		$\alpha, n2p$	22.0	⁷⁶ As	26 ч	⁷⁶ Se
		$\alpha, 3n$	25.4	⁷⁶ Br	16.1 ч	⁷⁶ Se

Примечание. * Несмотря на экзотермичность реакций (p, γ), (α, γ), для их осуществления налетающая частица должна иметь начальную энергию, превышающую энергию электростатического отталкивания взаимодействующих частиц (кулоновский барьер).

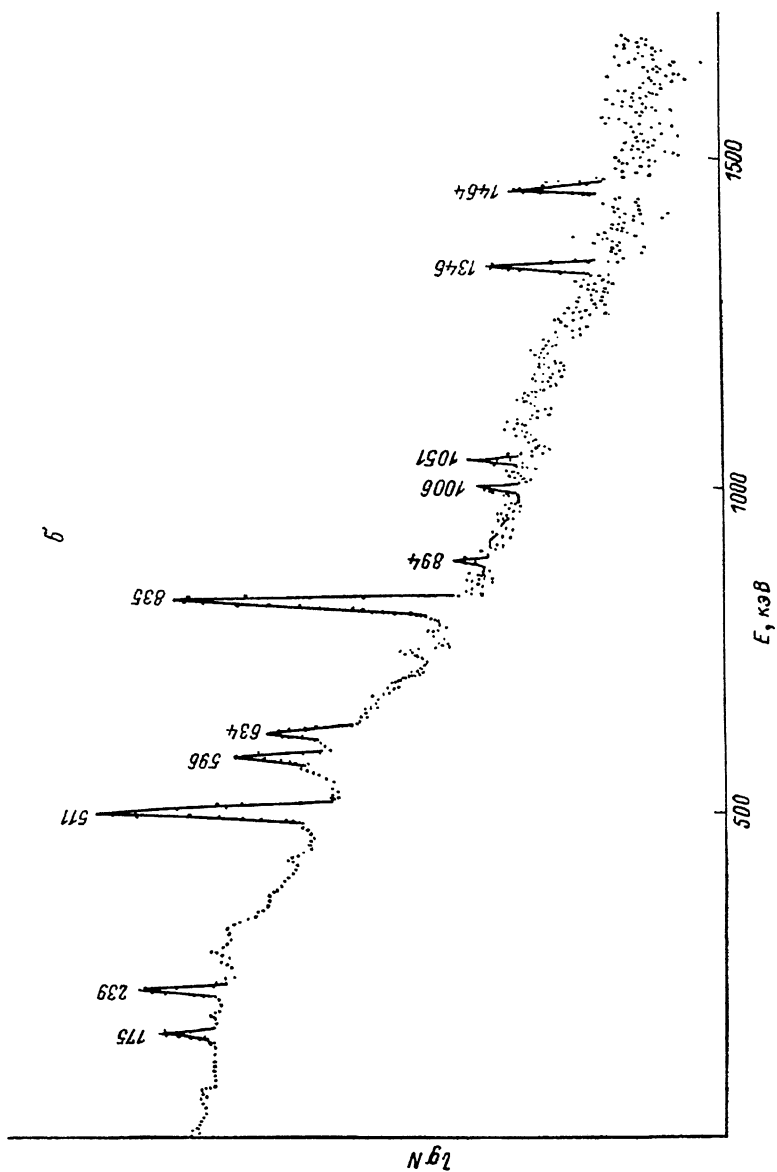
на ядрах ⁶⁹Ga приводит к образованию ядер ⁶⁸Zn. Это единственный канал ядерной реакции, когда в GaAs может образовываться примесь акцепторного типа.

Экспериментальная проверка эффективности образования примесных атомов в арсениде галлия под действием протонного и альфа-облучения проводилась на малогабаритном циклотроне типа МГЦ-20. Образцы облучались протонами с энергией 15 МэВ или альфа-частицами с энергией 20 МэВ при одинаковом флюенсе, равном $2 \cdot 10^{16} \text{ см}^{-2}$. Облучение проводилось через диафрагму площадью 1 см². Опыты выполнялись на пластинах GaAs толщиной 250 мкм с исходной концентрацией носителей заряда $\sim 10^{11} \text{ см}^{-3}$, которая определялась либо с помощью эффекта Холла, либо вольтфараадным методом. Количество примесей, образующихся из радиоактивных продуктов ядерных реакций, определялось путем измерения гамма-активности образцов.

На рисунке, а, б представлены примеры полученных спектров для случая облучения GaAs протонами и альфа-частицами соответственно. Наиболее интенсивные линии, присутствующие в спектре рисунка, а, соответствуют изотопам ⁷⁵Se, ⁷⁴As, ⁶⁹Ge, а в спектре рисунка, б — ⁷¹As, ⁷²As, ⁷⁴As, ⁷⁷Br, ⁸⁹Br. Из экспериментальных спектров мы определили общее количество вводимых



Энергетический спектр радиоактивных атомов примесей в арсениде галлия, облученном протонами с энергией 15 МэВ (а) и альфа-частицами с энергией 20 МэВ (б).



(II продолжение рисунка)

легирующих примесей за счет основных ядерных реакций и оценили коэффициент трансмутации (k_{tp}):

$$k_{tp} = \frac{N_{np}}{D} \frac{A}{(1 - e^{-\lambda t_{06,1}}) e^{-\lambda t_{ост}} \Phi},$$

где N_{np} — количество примесных атомов, образованных в образце при облучении его заряженными частицами интегральной дозой D [9], A — активность образца, λ — постоянная распада радиоактивного изотопа, $t_{06,1}$ — время облучения, $t_{ост}$ — время «остывания» (время выдержки образца после облучения), Φ — плотность потока бомбардирующих частиц.

Таблица 2

Значения коэффициентов трансмутационного образования легирующих примесей при облучении GaAs альфа-частицами с энергией 20 МэВ

Ядерная реакция	Вводимая примесь	k_{tp}
$^{69}\text{Ga}(\alpha, n)^{72}\text{As}$	^{72}Ge	$4 \cdot 10^{-5}$
$^{71}\text{Ga}(\alpha, n)^{74}\text{As}$	$^{74}\text{Ge}, ^{74}\text{Se}$	$2 \cdot 10^{-5}$
$^{71}\text{Ga}(\alpha, 2p)^{73}\text{Ga}$	^{73}Ge	$1 \cdot 10^{-5}$
$^{71}\text{Ga}(\alpha, 2n)^{73}\text{As}$	^{73}Ge	$1 \cdot 10^{-5}$
$^{75}\text{As}(\alpha, n)^{78}\text{Br}$	^{78}Se	$6 \cdot 10^{-6}$
$^{75}\text{As}(\alpha, 2p)^{77}\text{As}$	^{77}Se	$9 \cdot 10^{-6}$
$^{75}\text{As}(\alpha, 2n)^{77}\text{Br}$	^{77}Se	$2 \cdot 10^{-5}$

В табл. 2 приведены полученные для коэффициентов трансмутации для основных ядерных реакций, радиоактивные продукты которых распадаются в ядра элементов — примесей. Как видно из табл. 2, в большинстве случаев значения k_{tp} лежат в диапазоне величины $10^{-4} \div 10^{-6}$. Можно считать, что близкие значения k_{tp} будут давать и другие аналогичные ядерные реакции, приведенные в табл. 1, продуктами которых являются непосредственно стабильные ядра атомов примесей. В результате протонного облучения в арсенид галлия вводятся как донорные примеси (селен, германий), так и акцепторная примесь (цинк), причем эффективности введения малы ($k_{tp} \sim 10^{-6}$); соответственно и разностная концентрация этих примесей, определяющая эффективное легирование донорными или акцепторными примесями, незначительна.

Облучение арсенида галлия альфа-частицами в отличие от протонного приводит к образованию примесей только донорного типа (селен, германий), причем число таких ядерных реакций (при энергии альфа-частиц, равной 20 МэВ) около 15.

По нашим измерениям, при облучении GaAs альфа-частицами с энергией 20 МэВ дозой $2 \cdot 10^{16} \text{ см}^{-2}$ в полупроводник вводится $(4 \pm 1) \cdot 10^{12}$ атомов донорной примеси (селен, германий), а суммарный коэффициент трансмутации для введения донорных примесей в этих условиях составляет $\sim 2 \cdot 10^{-4}$. Так как реальная глубина полупроводника, на которой происходит образование примесных атомов при облучении GaAs альфа-частицами с энергией 20 МэВ, составляет $\sim 100 \text{ мкм}$ [10], то концентрации легирующих примесей при облучении дозами $\sim 2 \cdot 10^{16} \text{ см}^{-2}$ составляют $\sim 4 \cdot 10^{14} \text{ см}^{-3}$.

В образцах, легированных методом ядерной трансмутации, нами была измерена концентрация носителей заряда. Образцы предварительно выдерживались в течение 2 месяцев для устранения наведенной активности, а затем для удаления радиационных дефектов, внесенных облучением, образцы отжигались при температуре 750 °C в течение 30 мин в атмосфере чистого аргона. Концентрация электронов в приповерхностном слое арсенида галлия возросла в результате ядерного легирования на 3 порядка и составила $(2.5 \pm 0.5) \cdot 10^{14} \text{ см}^{-3}$, что хорошо согласуется с определенной по радиоактивности концентрацией введенной примеси.

Необходимо отметить, что концентрация донорной примеси, измеренная по величине радиоактивности и усредненная по части пробега альфа-частицы, на котором происходит образование легирующих примесей, может отличаться от концентрации носителей заряда в приповерхностном слое полупроводника не только из-за неравномерности генерации легирующих примесей по глубине образца, но и вследствие радиационно-стимулированной диффузии примесей, имеющей место при отжиге радиационных дефектов [11, 12].

В заключение авторы выражают благодарность В. К. Ярмаркину за полезное обсуждение результатов работы.

Л и т е р а т у р а

- [1] Ларк-Горовиц К. Бомбардировка полупроводников нуклонами. — В кн.: Полупроводниковые материалы / Пер. с англ. под ред. В. М. Тучковича. М., 1954, с. 62—94.
- [2] Нейтронное трансмутационное легирование полупроводников / Под ред. Дж. Миза. М., 1982. 264 с.
- [3] Заблоцкий В. В., Иванов Н. А., Космач В. Ф., Леонов Н. Н., Остроумов В. И. Легирование полупроводников с помощью фотоядерных реакций. — ФТП, 1986, т. 20, в. 4, с. 625—629.
- [4] Легирование полупроводников методом ядерных реакций / Под ред. Л. С. Смирнова. Новосибирск, 1981. 183 с.
- [5] Долголенко А. П., Шаховцов В. И. Создание $p-p$ -перехода в p -кремнии под действием α -частиц. — В кн.: Радиационная физика неметаллических кристаллов. Минск, 1970, с. 191—194.
- [6] Гайдар Г. П., Дмитриенко Н. Н., Дубар Л. В., Курило П. М., Павленко А. А., Стрюк Ю. С., Токаревский В. В. Возможность трансмутационного легирования кремния посредством протонного облучения. — ФТП, 1986, т. 20, в. 5, с. 960—962.
- [7] Миллас А. Примеси с глубокими уровнями в полупроводниках. М., 1977. 562 с.
- [8] Мирчанашвили Ш. М., Нанобашвили Д. И. О возможности трансмутационного легирования арсенида галлия. — ФТП, 1970, т. 4, в. 10, с. 1879—1883.
- [9] Кузнецов Р. А. Активационный анализ. М., 1974. 250 с.
- [10] Немец О. Ф., Гофман Ю. В. Справочник по ядерной физике. Киев, 1975. 416 с.
- [11] Козловский В. В., Ломасов В. Н. Радиационно-стимулированная диффузия примесей в полупроводниках. — Обзоры по электрон. техн., сер. 7, 1985, в. 9, с. 1109.
- [12] Козловский В. В., Ломасов В. Н., Марушак Н. В. Диффузия примеси замещения в облученном ионами кристалле. — ЖТФ, 1985, т. 55, в. 11, с. 2175—2178.

Получена 2.01.1987
Принята к печати 30.04.1987